

京都市立伏見工業高等学校 正 ○ 安川 郁夫  
基礎地盤コンサルタント(株) 正 森田 悠紀雄

1. はじめに 粘土地盤の長期の沈下予測に関しては、粘土の二次圧密特性が重要な意味をもつことになる。この二次圧密特性は、二次圧密係数  $C_\alpha$  を用いて一般に示されているが、従来の研究では  $C_\alpha$  は圧密圧力や圧力増加比に無関係であるという意見や、圧密圧力の増加とともに  $C_\alpha$  は大きくなるという意見、逆に小さくなるという意見など、なまり異なった傾向が示されており、一般的には  $C_\alpha$  は圧密圧力と無関係であるという意見が支持されているようである。<sup>1)2)</sup> それらの傾向は、個々の粘土のある条件下での特性にもとづく結果であるとも考えられ、著者らは、種々の粘土についての二次圧密特性の究明を試みてきた。そして、正規圧密状態においては、圧密圧力および圧力増加比の増大とともに  $C_\alpha$  は小さくなること、aging を受けるほどその傾向が顕著に表われることを示した。<sup>3)</sup> また、荷重増加比1の標準圧密試験および最初から単一荷重のみを一気にかける単一荷重圧密試験(S.I.L)を種々の粘土について試み、構造が発達している粘土では  $C_\alpha$  にピークがみられ、S.I.Lではそのピークが圧密降伏応力の2倍付近で表われ、二次圧密が顕著になる圧密圧力が存在すること、室内作成試料では圧密圧力とともに  $C_\alpha$  は単調に増加することを示した。<sup>4)</sup>

今回、その  $C_\alpha$  の分布特性について、標準圧密試験にもとづいて種々の粘土について検討した結果、 $e - \log p$  曲線の形と  $C_\alpha$  の分布特性について明らかな相関性のあることがわかった。

2. 試料および試験方法 今回の研究では、塑性の異なる乱さない現地粘土試料4種類と、塑性の異なる室内作成試料2種類を用いた。室内試料の供試体作成についてはすでに報告している。<sup>4)</sup> 標準圧密試験に用いた圧密容器は、内面にテフロン加工を施し、ごく薄くシリコンオイルを塗ることにより、側面摩擦の影響は極力小さくするよう努めた。用いた試料の物理的性質についてはすでに報告しているの<sup>3),4)</sup>で、ここでは各図において示した。

3. 試験結果および  $e - \log p$  曲線と二次圧密係数  $C_\alpha$  の相関

各荷重段階ごとの  $C_\alpha$  については、圧密量を問はずに  $e$  を整理し、完全な二次圧密領域と考えられる数時間後から24時間後の時間の対数に対する  $e$  の直線関係から求めた。そして、それぞれの試料について  $e - \log p$  曲線と  $C_\alpha - \log p$  曲線との相関性を調べてみたところ、一般的なその特性関係として、図-1に示すような4つのタイプに分類できると考えられる。分類されそれぞれのタイプについて説明すると以下ようになる。

(1). Aタイプ : 乱さない高塑性粘土にみられる。この粘土はかなり構造が発達していると推断される。この場合、圧密降伏応力  $\sigma_c$  付近で  $C_\alpha$  は急に大きくなり、そして  $\sigma_c$  をこえて領域での  $e - \log p$  曲線の折れ点付近で  $C_\alpha$  にピークが現われる。塑性が低くなるに従って、 $e - \log p$  曲線の折れ方もゆるやかに  $C_\alpha$  のピークも小さくなっていく。また、室内作成

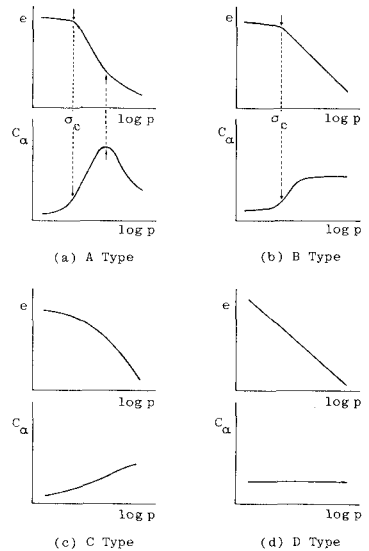
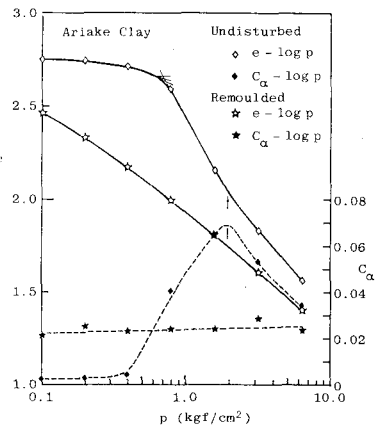


図-1  $e - \log p$  曲線と  $C_\alpha - \log p$  曲線の相関性の分類



有明粘土 :  $w_L = 92.2\%$ ,  $I_p = 36.6$

図-2 高塑性粘土の場合(AタイプとDタイプの例)

試料でも高塑性の粘土（カオリナイトなど）では圧密圧力の高い段階でその傾向がみられる。この場合の例は図-2、図-3において示されている。 $C_c$ の存在は、土の構造に大きな変形が生じていると考えられる。マクロな構造の変形とすれば、 $C_c$ のピークは発達した構造内部のミクロな変化（例えばパッド内部の変形など）が生じているのではないかと推定される。

(2). Bタイプ：乱さない低塑性の粘土にみられる。 $C_c$ をこえたところの $e-\log p$ 曲線はほぼ直線となり折れ点はみられず、 $C_c$ は $C_c$ 付近で増大した後、ほぼ一定値を示すかやや漸増する傾向にある。高い圧密圧力のもとでは $e-\log p$ 曲線にわずかな折れ点のみみられるが、この部分をこえたところでは $C_c$ は減少していく。この場合の例は図-4になる。

(3). Cタイプ：低塑性の室内作成試料や構造が未発達と思われる粘土にみられる。このような土では $C_c$ の決定は、A、Bタイプの粘土のようにうまくいかない。 $e-\log p$ 曲線の曲率によって $C_c$ の増加傾向が異なるが、圧密圧力の増大とともに $C_c$ は単調に増大していく。この場合の例は、図-3に示した深草粘土である。

(4). Dタイプ：完全に練り返した粘土や、室内作成試料でもスラリー状から圧密していった場合にみられる。このような粘土では、 $e-\log p$ 曲線は最初から直線的な傾向を示す。そして、この場合の $C_c$ はほぼ一定値を示す。 $e-\log p$ 曲線がCタイプに近づくような曲線状になるに従って $C_c$ は漸増傾向を示してくる。この例として図-2において練り返した場合を示されている。

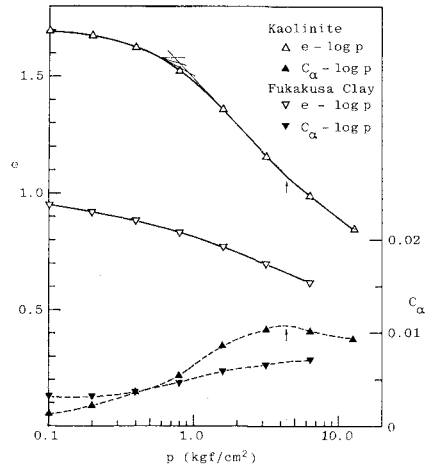
以上の4つの特性は標準圧密試験にもとづくものである。日本の平野部に広く分布する沖積粘土は、塑性が高くAタイプのケースが多いと思われる。室内試験に用いる試料はサンプリングによって応力解放した後、段階載荷で圧密している。今回の研究において、0.8% $w$ まで圧密した場合とその圧力で5日間agingを行った場合について、それぞれその後0.1% $w$ まで除荷し再圧密を行う方法を試みたが、 $C_c$ の分布に変化がみられ、次の載荷では $C_c$ は小さくなりピークが右に移動する傾向がみられ、agingの影響も明らかである(図-5)。正規圧密状態での $C_c$ の傾向<sup>3)</sup>と考えあわせれば、長期況下の適切な予測を行う意味での試験法ということについては、S-I-Lの方法も含め今後の検討が必要と考えられる。

【謝辞】 今回の研究にめたり暖かい配慮と御指導を賜りまして京都大学 赤井若一教授に心より謝意を表します。また京都大学 轟門雅史助教には有益な助言をいただきました。あわせて謝意を表します。

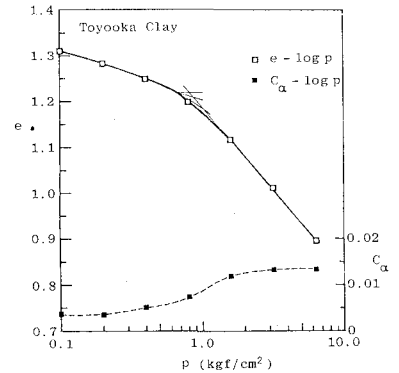
【参考文献】 1). Mesri, G.: Coefficient of Secondary Compression, Proc. ASCE, SM1, 1973

2). Mesri, G. P.M. Godlewski: Time- and Stress-Compressibility Interrelationship, Proc. ASCE, GT1, 1979

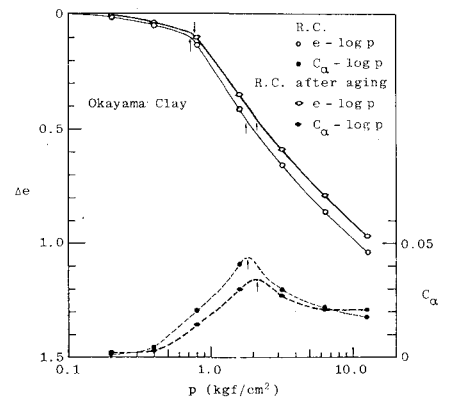
3). 安川, 森田: 正規圧密状態にある粘土の二次圧密特性について, 第36回土学会, 1981 4). 安川: 粘土の二次圧密特性についての考察, 第1回土工学会, 1982



カオリナイト:  $w_L=106.0\%$   $I_p=66.0$   
深草粘土:  $w_L=45.7\%$   $I_p=20.9$   
図-3 室内作成試料の比較(AタイプとCタイプの例)



豊田粘土:  $w_L=36.6\%$   $I_p=9.2$   
図-4 低塑性粘土(Bタイプの例)



R.C.: Repeated Consolidation  
豊田粘土:  $w_L=78.8\%$   $I_p=46.8$   
図-5 くりかえし圧密の影響(Aタイプの例)